

## СВОБОДНЫЕ КОЛЕБАНИЯ СИСТЕМЫ С РЕЛАКСАЦИОННЫМ ВЯЗКИМ ДЕМПФИРОВАНИЕМ

© 2011 Ф. М. Шакиров

Самарский государственный аэрокосмический университет имени академика С.П. Королёва  
(национальный исследовательский университет)

Рассмотрена динамика свободного движения механической колебательной системы, у которой масса вывешена над основанием с помощью подвески в виде реологической модели Пойнтинга-Томсона.

*Свободные колебания, релаксационное демпфирование, вязкое демпфирование.*

Рассмотрим динамику свободного движения механической колебательной системы, у которой масса вывешена над основанием с помощью подвески в виде реологической модели Пойнтинга-Томсона (так называемой «Зенера») (рис.1).

В дальнейших рассуждениях будем полагать, что масса основания значительно превышает массу объекта и обе они недеформируемые; объект является точечной массой, а колебательная система имеет сосредоточенные параметры; элементы связи объекта с основанием обладают пренебрежимо малой массой; диссипативный элемент является демпфером вязкого трения, упругие элементы – линейные.

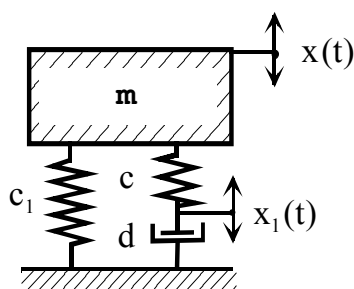


Рис.1. Схема колебательной системы с упруговязкой подвеской в виде модели Пойнтинга-Томсона («Зенера»)

Свободные колебания рассматриваемого объекта описываются системой уравнений

$$\begin{cases} m\ddot{x}(t) + c_1x(t) + c[x(t) - x_1(t)] = 0 \\ c[x(t) - x_1(t)] = d\dot{x}_1(t), \end{cases} \quad (1)$$

преобразуемой к дифференциальному уравнению третьей степени:

$$\begin{aligned} \frac{m d}{c} \dddot{x}(t) + m\ddot{x}(t) + \\ + d \frac{c + c_1}{c} \dot{x}(t) + c_1x(t) = 0 \end{aligned} \quad (2)$$

Здесь  $m$  – масса объекта;  $d$  – коэффициент вязкого демпфирования;  $c$ ,  $c_1$  – соответственно коэффициенты жесткости релаксационного и несущего упругих элементов;  $x(t)$ ,  $x_1(t)$  – смещение объекта и элемента связи релаксационной пружины с демпфером из равновесного положения, соответственно;  $\dot{x}(t)$ ,  $\ddot{x}(t)$ ,  $\dddot{x}(t)$  – первая, вторая и третья производные по времени от функции  $x(t)$ ;  $\dot{x}_1(t)$  – производная по времени от функции  $x_1(t)$ .

Введя параметры соотношения жесткостей  $N=c/c_1$ , собственной частоты  $\omega_0^2=c_1/m$  и безразмерного коэффициента вязкого демпфирования  $\xi=0.5d/(mc_1)^{0.5}$ , представим уравнение (2) в следующем виде

$$\begin{aligned} \dddot{x}(t) + \frac{N\omega_0}{2\xi} \ddot{x}(t) + (1+N)\omega_0^2 \dot{x}(t) + \\ + \frac{N\omega_0^3}{2\xi} x(t) = 0. \end{aligned} \quad (3)$$

Уравнение (3) с начальными условиями  $x(0)=x_0$ ,  $\dot{x}(0)=\dot{x}_0$ ,  $\ddot{x}(0)=\ddot{x}_0$  составляет задачу Коши – математическую модель свободных колебаний представленной выше системы. Применяв к уравнению (3) преобразование Лапласа [1], получим во множестве преобразований уравнение:

$$\begin{aligned} \left[ s^3 + \frac{N\omega_0}{2\xi} s^2 + (1+N)\omega_0^2 s + \frac{N\omega_0^3}{2\xi} \right] \tilde{x}(s) = \\ = \left[ s^2 + \frac{N\omega_0}{2\xi} s + (1+N)\omega_0^2 \right] x_0 + \\ + \left( s + \frac{N\omega_0}{2\xi} \right) \dot{x}_0 + \ddot{x}_0, \end{aligned} \quad (4)$$

где  $\tilde{x}(s)$  – изображение функции  $x(t)$ . Характер свободных колебаний рассматриваемой механической системы зависит от вида корней характеристического уравнения:

$$s^3 + \frac{N\omega_0}{2\xi}s^2 + (1+N)\omega_0^2s + \frac{N\omega_0^3}{2\xi} = 0. \quad (5)$$

Дискриминант  $D$  кубического уравнения (5) равен [2]:

$$D = \frac{\omega_0^6}{27(2\xi)^4} [16(1+N)^3\xi^4 - (N^2 + 20N - 8)\xi^2N^2 + N^4]. \quad (6)$$

Из выражения (6) видно, что знак дискриминанта определяется знаком многочлена:

$$16(1+N)^3\xi^4 - (N^2 + 20N - 8)\xi^2N^2 + N^4, \quad (7)$$

из равенства нулю которого определим значения параметра  $\xi$ , обращающие многочлен (7) в ноль:

$$\xi_{1,2}^2 = \frac{N^2(N^2 + 20N - 8) \pm N^2(N - 8)\sqrt{N(N - 8)}}{32(1+N)^3}. \quad (8)$$

Анализ выражений (6) и (8) позволяет выявить виды корней уравнения (5). Последние, в свою очередь, определяют варианты поведения рассматриваемой колебательной системы при свободном движении в зависимости от уровня демпфирования в ней:

I.  $N < 8$ , то есть жесткость релаксационной пружины меньше восьмикратной жесткости несущей пружины ( $c < 8c_1$ ).

В этом случае дискриминант  $D > 0$  при любой величине параметра  $\xi$ , а уравнение (5) имеет один действительный и два комплексно сопряженных корня [2]:

$$s_k = y_k - r/3,$$

$$\text{где } k = 1, 2, 3;$$

$$y_1 = u + v;$$

$$y_2 = -0,5(u + v) + 0,5 \cdot 3^{0,5}(u - v) i;$$

$$y_3 = -0,5(u + v) - 0,5 \cdot 3^{0,5}(u - v) i;$$

$$u = \sqrt[3]{-0,5q + \sqrt{D}}; \quad v = \sqrt[3]{-0,5q - \sqrt{D}};$$

$$q = N\omega_0^3 [18(2-N)\xi^2 + N^2] / 108\xi^3;$$

$$r = N\omega_0 / 2\xi.$$

Следовательно, при любом уровне вязкого демпфирования рассматриваемая система совершает монотонно затухающие колебания в соответствии с зависимостью  $x(t) = A_1 e^{\alpha_1 t} + e^{\alpha_2 t} [B_1 \sin(\beta t) + C_1 \cos(\beta t)]$ , (9) где

$$\alpha_1 = s_1 = u + v - r/3,$$

$$\alpha_2 = \text{Re} [s_2] = \text{Re} [s_3] = -0,5(u + v) - r/3,$$

$$\beta = \text{Im} [s_2] = \text{Im} [s_3] = 0,5 \cdot 3^{0,5} \cdot (u - v);$$

$A_1, B_1, C_1$  – постоянные, зависящие от начальных условий и параметров системы:

$$A_1 = \frac{\ddot{x}_0 - 2\alpha_2 \dot{x}_0 + (\alpha_2^2 + \beta^2)x_0}{(\alpha_1 - \alpha_2)^2 + \beta^2},$$

$$B_1 = \frac{(\alpha_2 - \alpha_1)[\ddot{x}_0 - (\alpha_1 + \alpha_2)\dot{x}_0 + \alpha_1\alpha_2x_0] + \beta^2(\dot{x}_0 - \alpha_1x_0)}{\beta[(\alpha_1 - \alpha_2)^2 + \beta^2]},$$

$$C_1 = \frac{\alpha_1(\alpha_1 - 2\alpha_2)x_0 + 2\alpha_2\dot{x}_0 - \ddot{x}_0}{(\alpha_1 - \alpha_2)^2 + \beta^2}.$$

Первый член выражения (9) описывает аperiодическое затухающее движение. Быстрота затухания зависит от величины  $|\alpha_1|$ , а параметр  $|1/\alpha_1|$  представляет собой время, в течение которого первое слагаемое решения (9) уменьшается в  $e$  раз. Вторая составляющая выражения (9) описывает затухающие колебания того же типа, что и в колебательной системе с упруговязкой подвеской в виде модели Кельвина [3].

II.  $N \geq 8$ , то есть жесткость релаксационной пружины не меньше восьмикратной жесткости несущей пружины ( $c \geq 8c_1$ ).

При этом возможны следующие случаи.

II.1. Дискриминант  $D > 0$  при  $\xi > \xi_1$  или  $\xi < \xi_2$ .

Уравнение (5) имеет те же решения, что и в варианте I, а колебательная система ведет себя соответствующим образом.

II.2.a. Дискриминант  $D = 0$  при  $\xi = \xi_1$  или  $\xi = \xi_2$ , но  $\xi \neq 4/(27)^{0,5}$ .

Уравнение (5) имеет один действительный корень и один двукратный действительный корень [2]:

$$s_1 = y_1 - r/3, \quad s_2 = s_3 = y_2 - r/3,$$

$$\text{где } y_1 = 2u_2; \quad y_2 = y_3 = -u_2; \quad u_2 = v_2 = \sqrt[3]{-0,5q}.$$

В динамическом отношении система находится в промежуточном состоянии на границе между колебательностью и аperiодичностью и совершает движение по закону:  $x(t) = A_2 e^{s_1 t} + e^{s_2 t} (B_2 + C_2 t)$ , (10) где зависящие от параметров системы и начальных условий константы  $A_2, B_2, C_2$  имеют вид:

$$A_2 = [\ddot{x}_0 - s_2(2\dot{x}_0 - s_2x_0)] / (s_1 - s_2)^2,$$

$$B_2 = [-\ddot{x}_0 + 2s_2\dot{x}_0 + s_1(s_1 - 2s_2)x_0] / (s_1 - s_2)^2,$$

$$C_2 = [\ddot{x}_0 - (s_1 + s_2)\dot{x}_0 + s_1s_2x_0] / (s_2 - s_1).$$

Второе слагаемое выражения (10) опи-

сывает движение того же типа, что и в колебательной системе с упруговязкой подвеской в виде модели Кельвина [4]. На это движение накладывается аperiодическое движение, описываемое первым слагаемым.

II.2.6. Дискриминант  $D = 0$  при  $N = 8$  и  $\xi = 4/(27)^{0.5}$ .

Уравнение (5) имеет один трехкратный действительный корень [2]:

$$s_1 = s_2 = s_3 = s = -r/3.$$

Колебательная система находится в точке границы перехода от колебательного к аperiодическому движению, а поведение системы описывается выражением:

$$x(t) = e^{st} (A_3 + B_3 t + C_3 t^2), \quad (11)$$

где константы  $A_3, B_3, C_3$  зависят от параметров системы и начальных условий:

$$A_3 = x_0,$$

$$B_3 = \dot{x}_0 - s x_0,$$

$$C_3 = 0.5\ddot{x}_0 - s\dot{x}_0 + 0.5s^2 x_0.$$

II.3. Дискриминант  $D > 0$  при  $\xi_2 < \xi < \xi_1$ .

Уравнение (5) имеет три различных действительных корня [2]:

$$s_k = y_k - r/3,$$

где  $k = 1, 2, 3$ ;

$$y_1 = 2\sqrt{-p/3} \cos(\varphi/3),$$

$$y_2 = 2\sqrt{-p/3} \cos[(\varphi + 2\pi)/3],$$

$$y_3 = 2\sqrt{-p/3} \cos[(\varphi + 4\pi)/3],$$

$$\varphi = \arccos(-q/2\rho),$$

$$\rho = -(p/3)^{1.5},$$

$$p = \omega_0^2 [12\xi^2(1+N) - N^2]/12\xi^2.$$

В этом случае система совершает аperiодическое движение по следующей зависимости:

$$x(t) = A_4 e^{s_1 t} + B_4 e^{s_2 t} + C_4 e^{s_3 t}, \quad (12)$$

где константы  $A_4, B_4, C_4$  определяются параметрами системы и начальными условиями:

$$A_4 = [\ddot{x}_0 - (s_2 + s_3)\dot{x}_0 + s_2 s_3 x_0]/(s_1 - s_2)(s_1 - s_3),$$

$$B_4 = [\ddot{x}_0 - (s_1 + s_3)\dot{x}_0 + s_1 s_3 x_0]/(s_1 - s_2)(s_3 - s_2),$$

$$C_4 = [\ddot{x}_0 - (s_1 + s_3)\dot{x}_0 + s_1 s_2 x_0]/(s_1 - s_3)(s_2 - s_3).$$

Подводя итоги исследования динамического состояния рассматриваемой колебательной системы, можно отметить, что она обладает следующими существенными особенностями при своем свободном движении:

1) при величинах соотношения жесткостей упругих элементов из диапазона  $c < 8c_1$  независимо от уровня вязкого демпфирования в системе ее свободное движение имеет характер монотонно затухающих колебаний;

2) при соотношении жесткостей упругих элементов  $c \geq 8c_1$  система может совершать монотонно затухающие колебательные движения либо аperiодические движения или находиться на границе между колебательным и аperiодическим движением в зависимости от величины параметра  $\xi$ .

Существенным при этом является то, что граница перехода имеет двужначность (верхнюю и нижнюю составляющие) в отличие от случая колебательной системы с подвеской в виде упруговязкой модели Кельвина, когда граница перехода от колебательного движения к аperiодическому однозначна.

Рассматриваемая система при значениях параметра  $\xi$ , попадающих внутрь интервала, границы которого определяются с помощью выражения (8), совершает аperiодические движения. При значениях параметра  $\xi$  вне указанного интервала движения системы – колебательные с затуханием. А значения параметра  $\xi$  на концах упомянутого интервала обозначают границу перехода от одного вида движения к другому.

При  $c = 8c_1$  интервал вырождается, а его границы сходятся в одну точку со значением  $\xi_1 = \xi_2 = 4/27^{0.5}$ .

Выявленные особенности динамического состояния рассматриваемой колебательной системы позволяют более адекватно (нежели при использовании модели на базе упруговязкой схемы Кельвина) прогнозировать поведение проектируемых механических объектов, а также рассчитывать траектории свободного движения в существующих конструкциях, в которых вывешенные массы вместе с их связями могут быть аппроксимированы представленной выше упруговязкой моделью.

### Библиографический список

1. Бессекерский, В.А. Теория систем автоматического регулирования [Текст] / В.А. Бессекерский, Е.П. Попов. – М.: Наука, 1966. – 992 с.

2. Бронштейн, И.Н. Справочник по математике [Текст]: справочник / И.Н. Бронштейн, К.А. Семендяев. – М.: Наука, 1980. – 976 с.

3. Пановко, Я.Г. Основы прикладной теории колебаний и удара [Текст] / Я.Г. Пановко. – Л.: Машиностроение, 1976. – 320 с.

4. Болотник, Н.Н. Оптимизация амортизационных систем [Текст] / Н.Н. Болотник. – М.: Наука, 1983. – 257 с.

## FREE VIBRATION OF RELAXATIONAL AND VISCOUS-DAMPED SYSTEM

© 2011 F. M. Shakirov

Samara State Aerospace University named after academician S.P. Korolyov  
(National Research University)

The paper describes a viscous relaxation damping model and results of the study on its basis of free vibration of system.

*Free vibration, relaxation damping, viscous damping.*

### Информация об авторах

**Шакиров Фарид Мигдетович**, кандидат технических наук, доцент, Самарский государственный аэрокосмический университет имени академика С.П. Королёва (национальный исследовательский университет). Тел.: (846) 334-47-77. Область научных интересов: динамика виброзащитных систем с конструкционным демпфированием.

**Shakirov Farid Migdetovich**, Candidate of Technical Sciences, Associate Professor, Samara State Aerospace University named after academician S.P. Korolyov (National Research University). Phone: (846) 334-47-77. Area of research: dynamic of system, Vibration, relaxation hysteretic damping.